

MAPA GEOLOGICO DE ESPAÑA

INFORMACION COMPLEMENTARIA

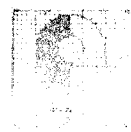
BETANZOS

(4 5) (05-05)

MICROFOTOGRAFIAS

NOVIEMBRE 1.978





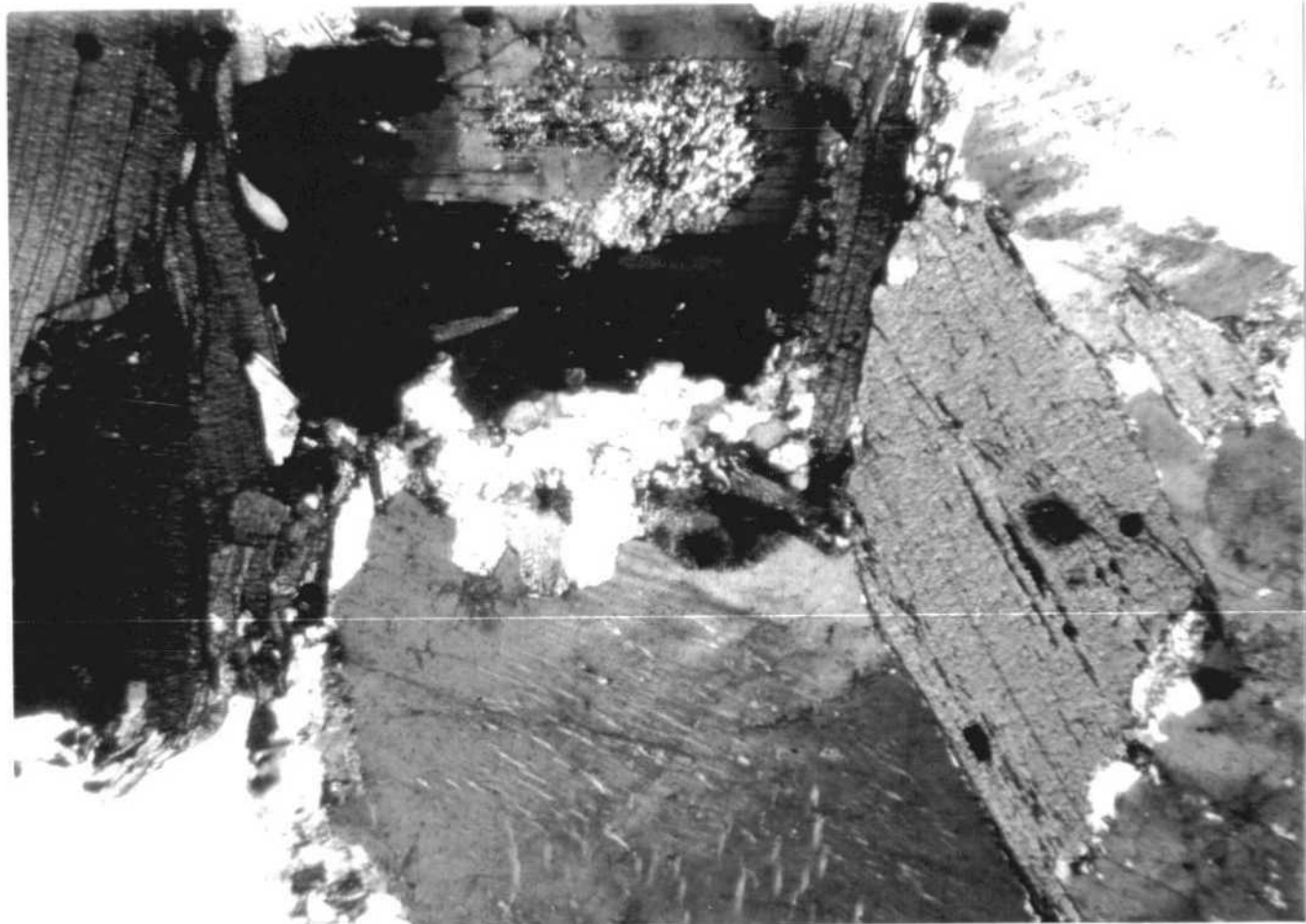
HOJA 05-05

INFORMACION COMPLEMENTARIA

HOJA 05-05

BETANZOS

ALBUM DE MICROFOTOGRAFIAS



Nº 1040.- Mirmequitas en zonas de microgranulación entre feldespato potásico y plagioclasa. LP X 78



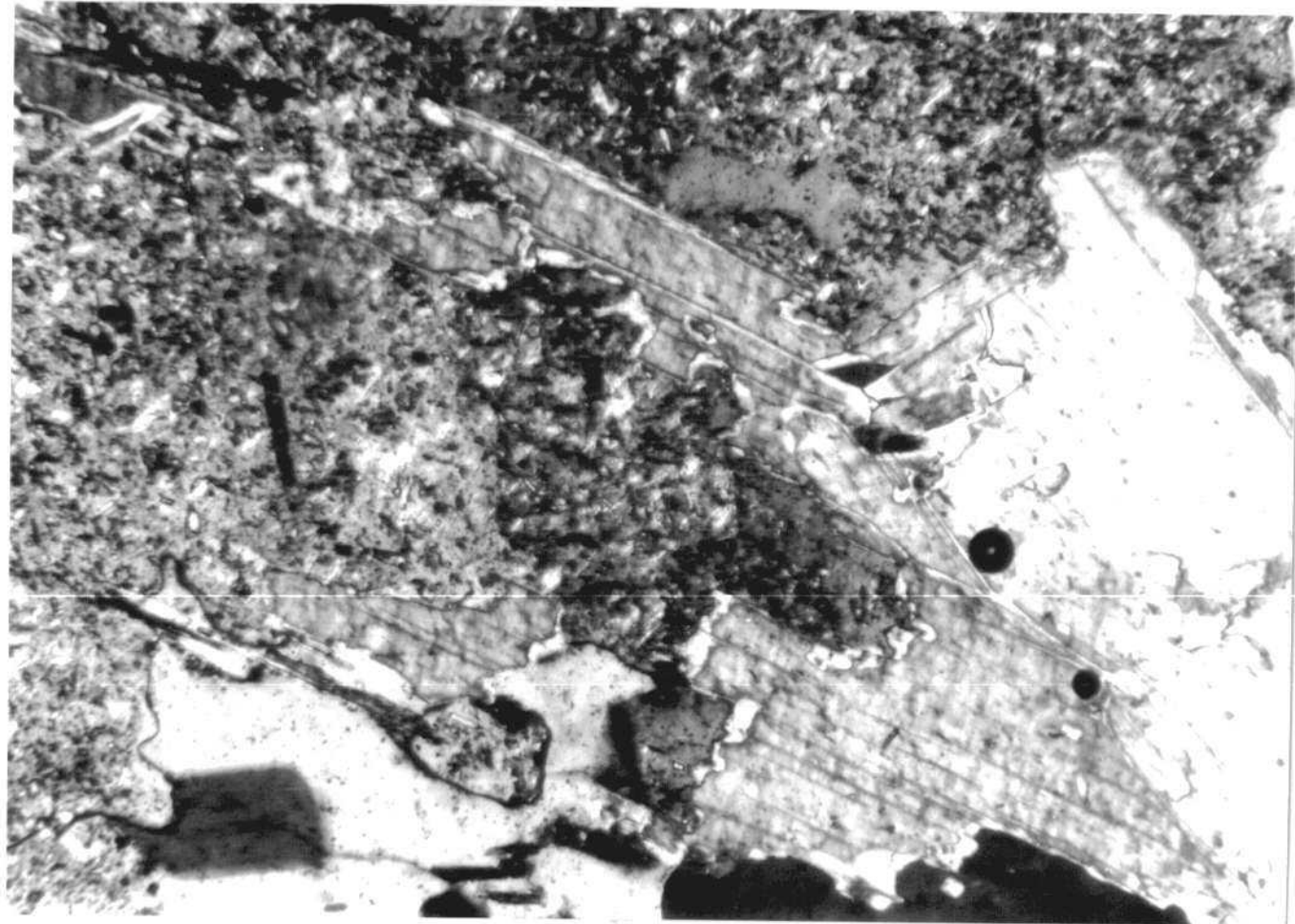
IMINSA



GA 97.- Corrosión entre feldespato potásico pertítico y plagioclasa. LP X 32



IMINSA



GA 97.- Moscovita simplectítica formada sobre plagioclasas sericitizadas. LP X 78



IMINSA



IMINSA



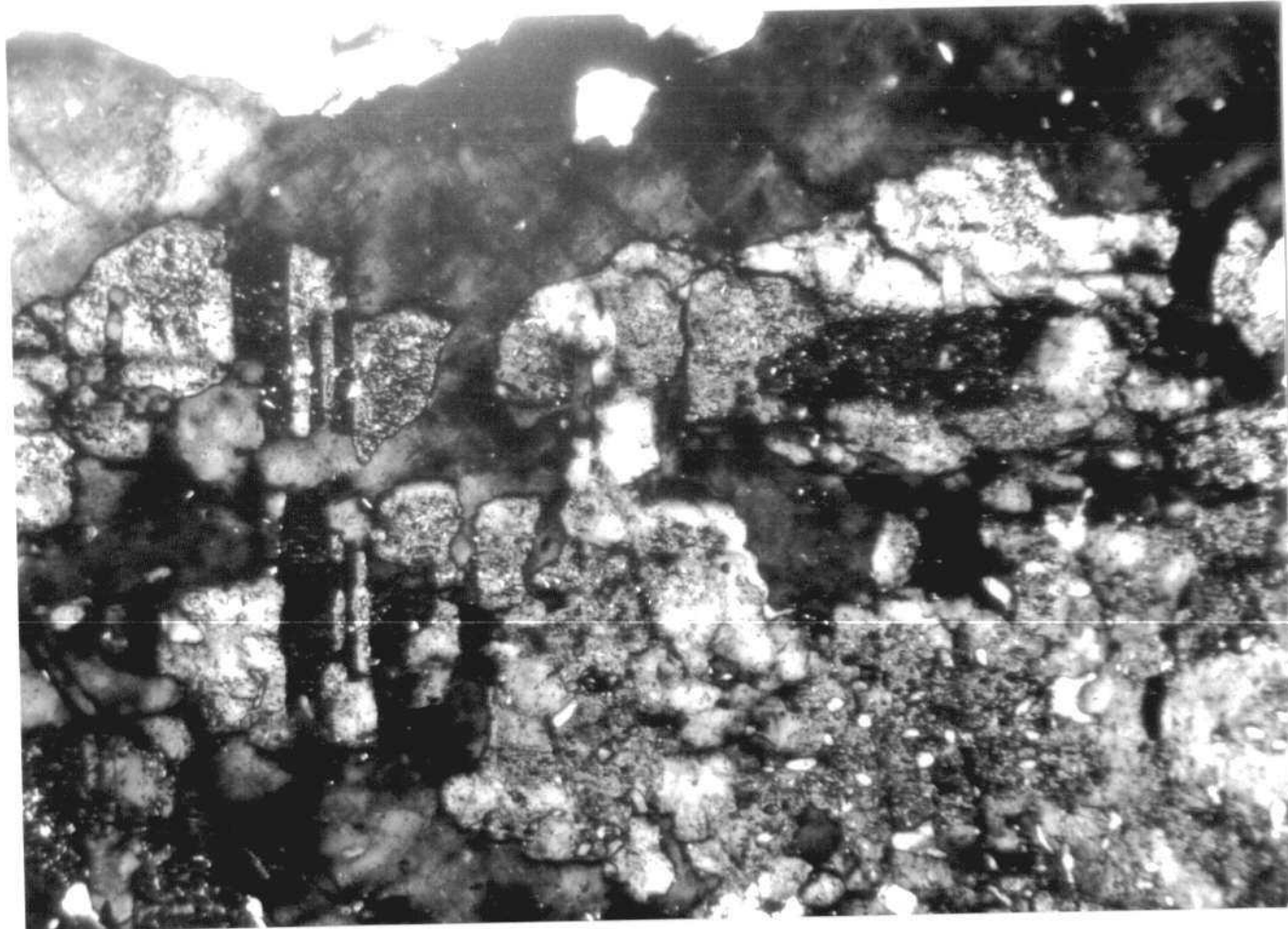
GA 165.- Apatito y alanita asociados a micas. LP X 32



IMINSA



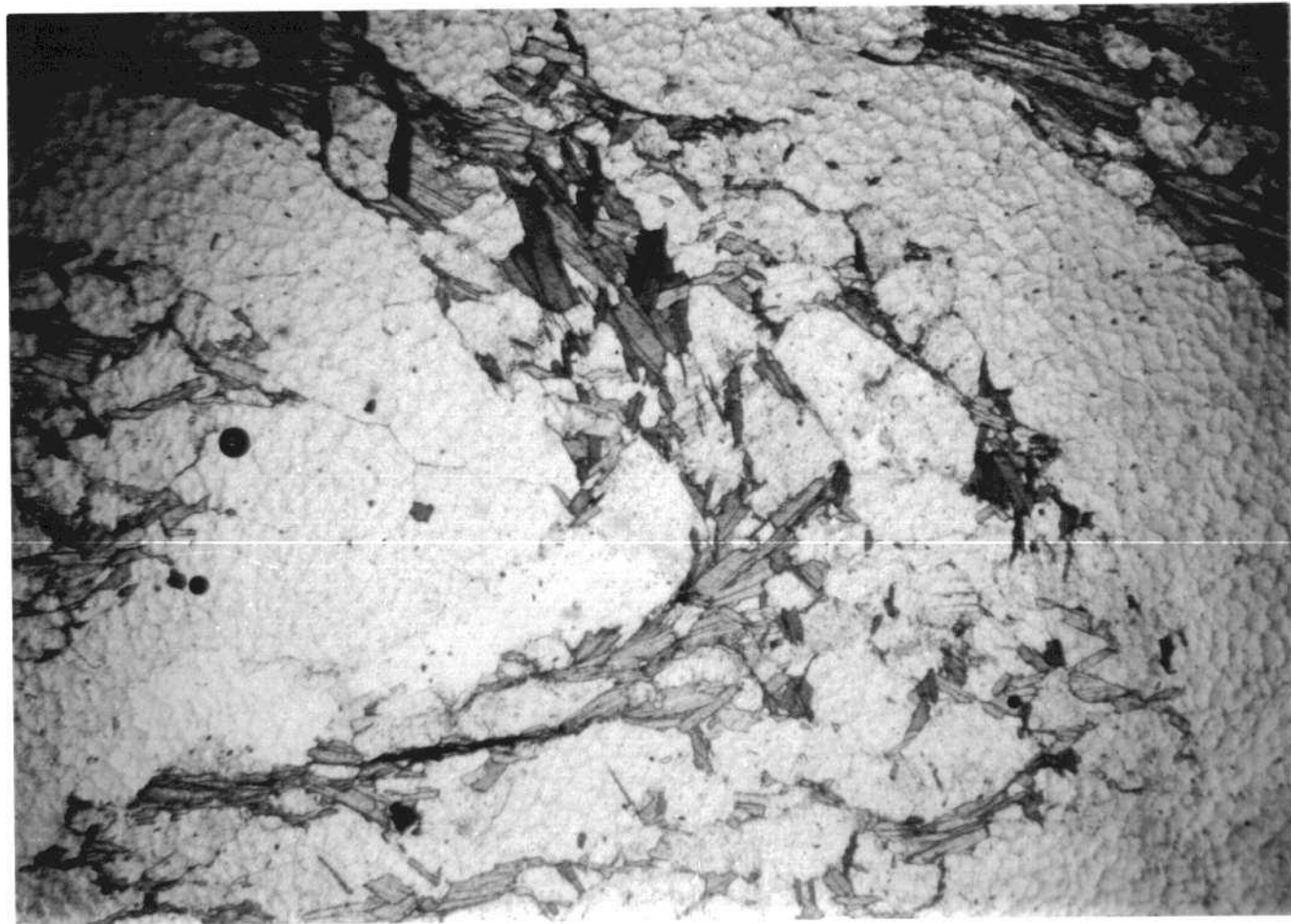
GA 91.- Biotita oblicua a la esquistosidad. LN X 32



GA 100.- Plagioclasa corroída por feldespato potásico. LP X 78



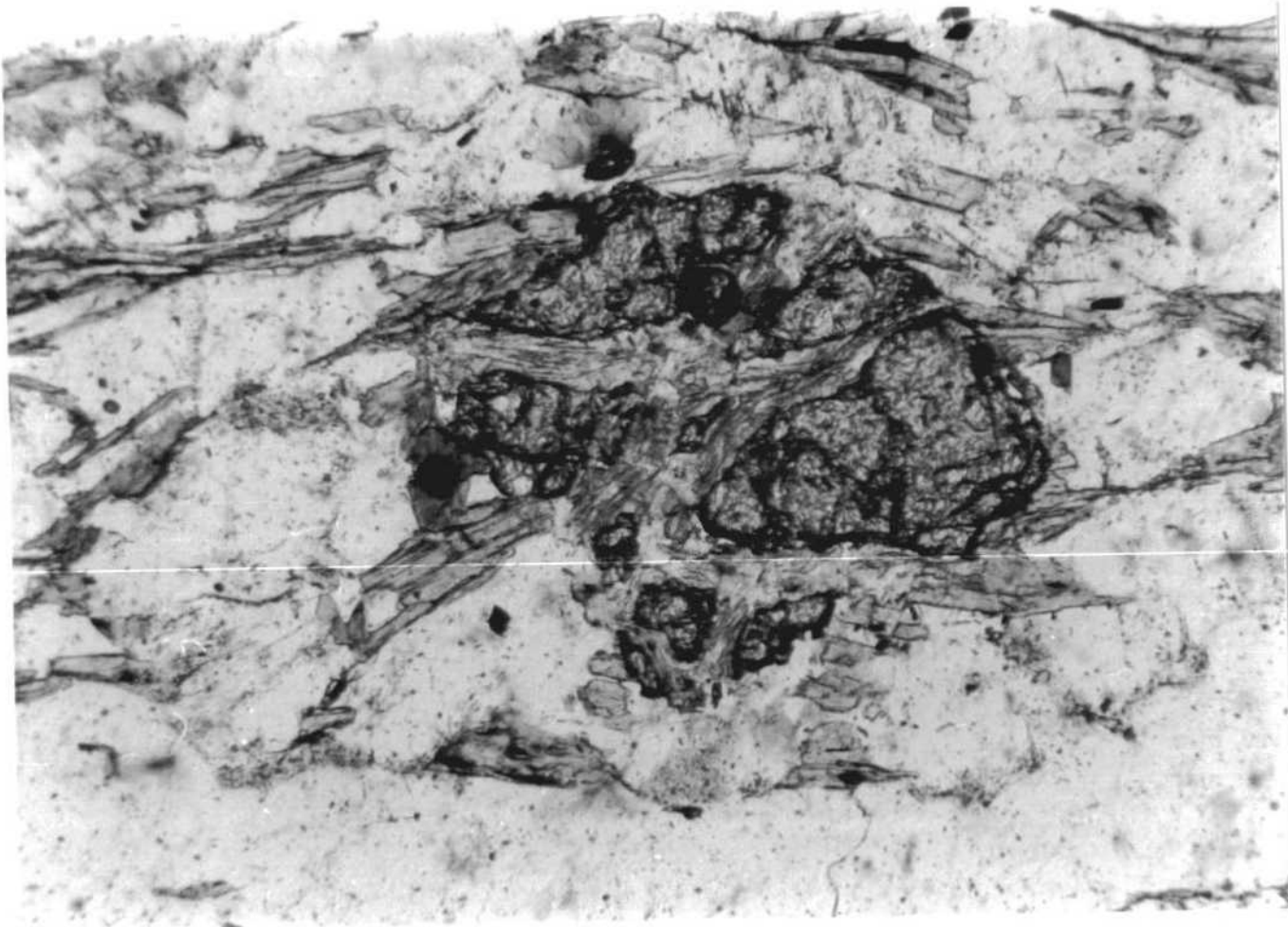
IMINSA



CA 136.- Microfissure de F_2 . LN X 32



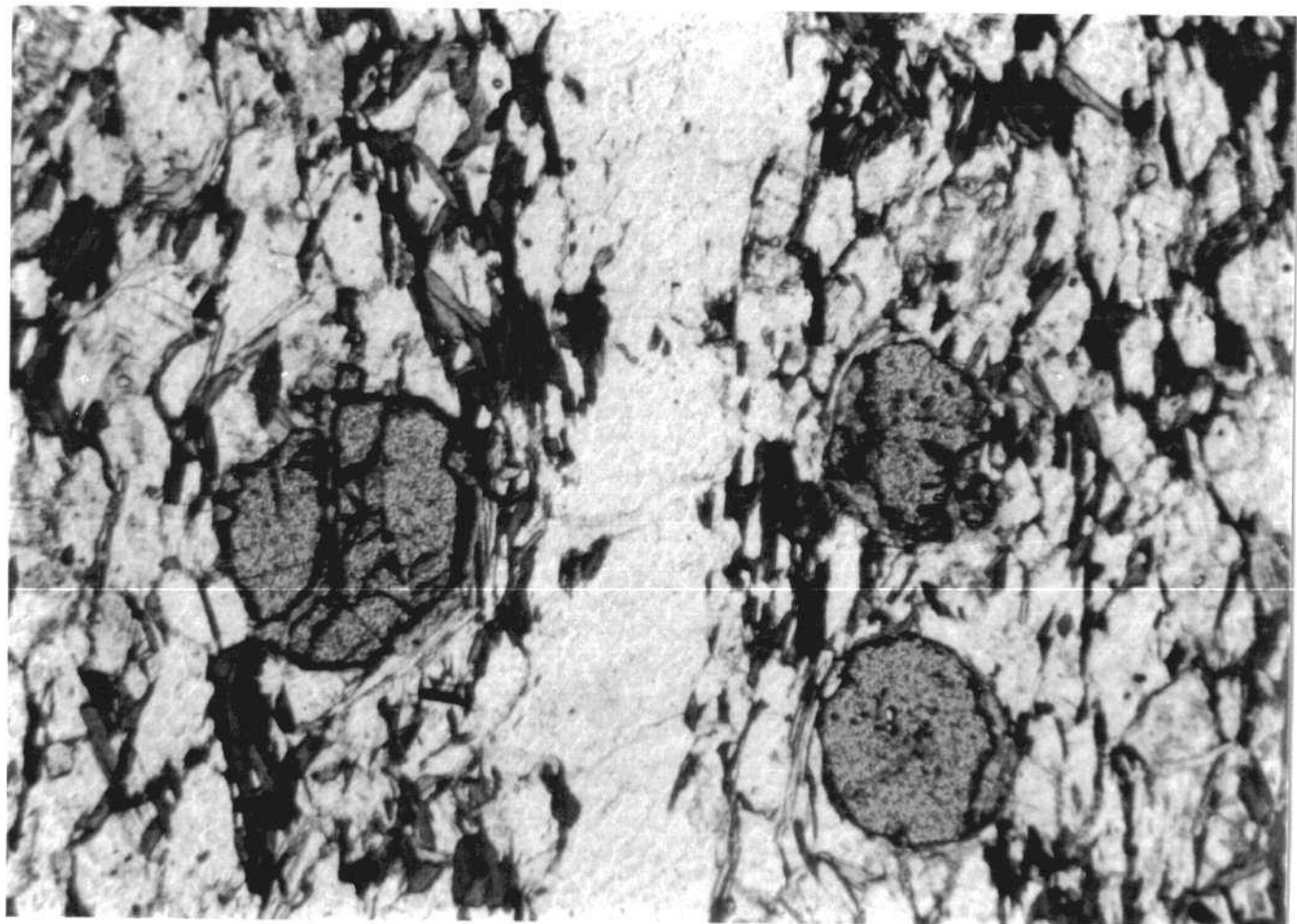
IMINSA



GA 136.- Granate pre S_2 sustituido por clorita. LN X 32



IMINSA



GA 138.- Granates idiomórficos preTECTónicos en esquistos de ordenes. LN X 32



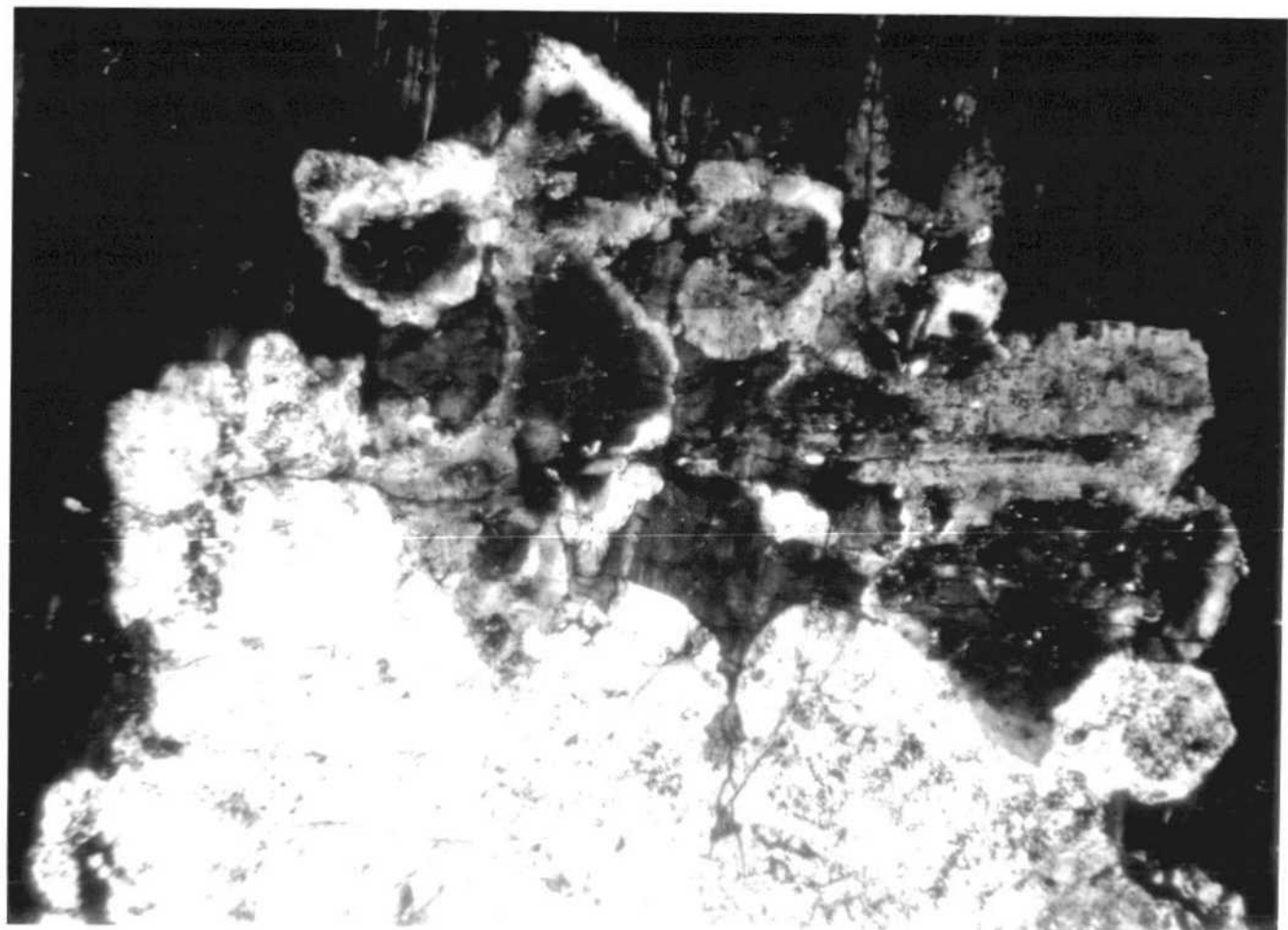
IMINSA



IMINSA



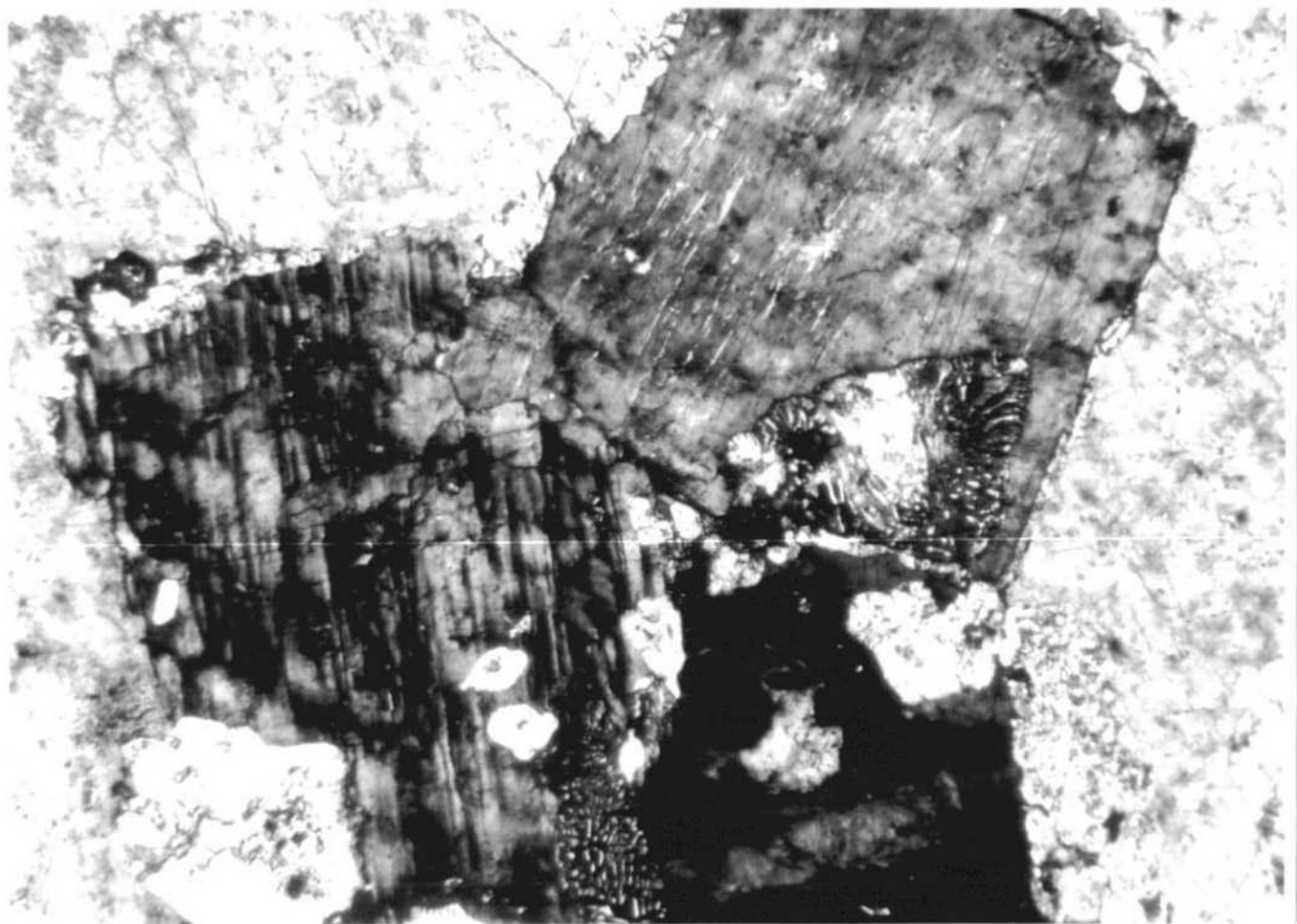
NB 1122.- Poikiloblastos de clorita en la aureola de contacto. LN X 32



NB 1063.- Plagioclasas englobadas en feldespato potásico con zonas mirmequíticas. LP X 32

IMINSA





NB 1063.- Plagioclasas corroídas en feldespato potásico con coronas de decalcificación.

LP X 32

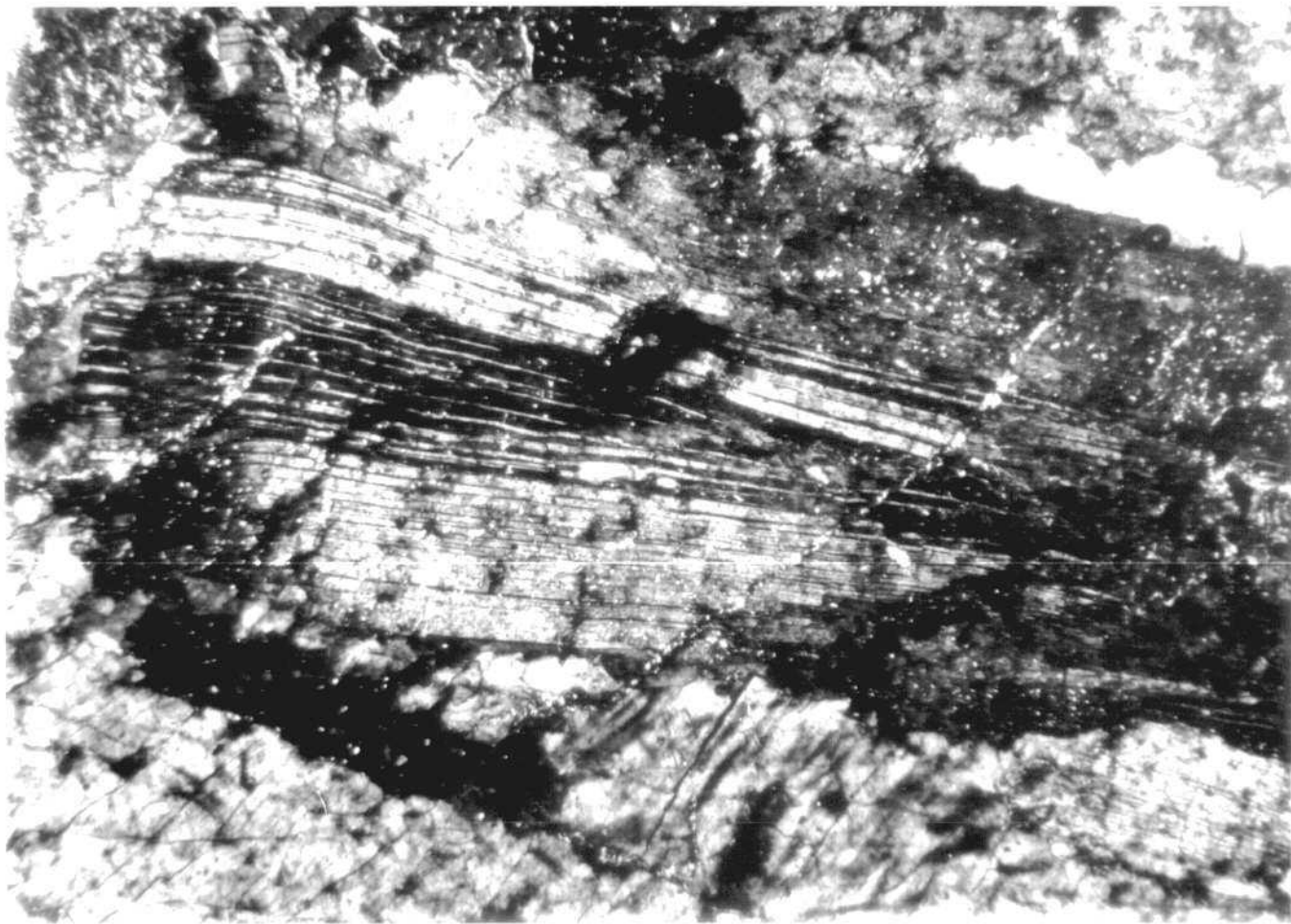




NB 1086.- Plagioclasas deformadas. LP X 1



IMINSA



NB 1086.- Deformación en plagioclasas. LP X 32



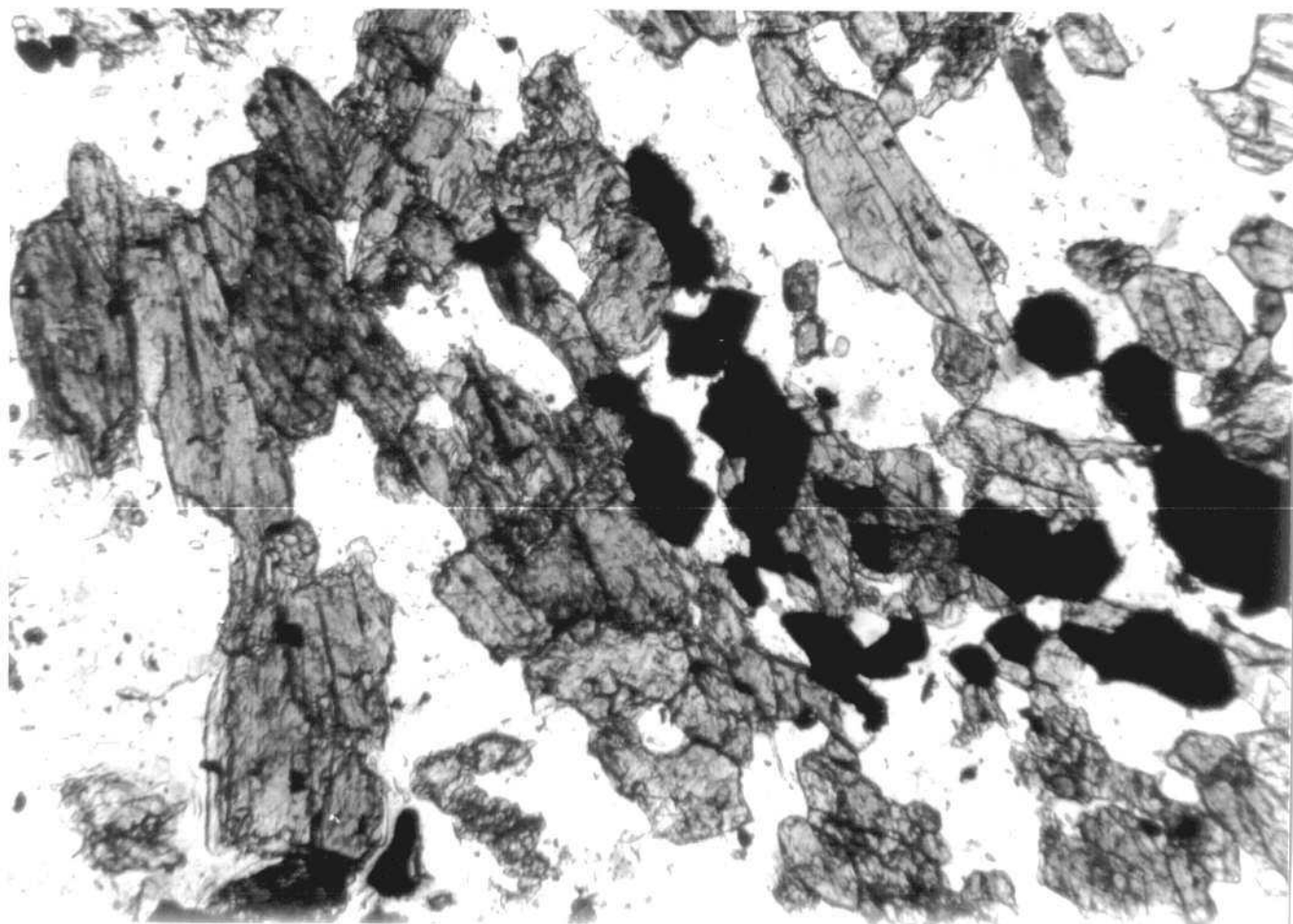
IMINSA



NB 1086.- Cuarzo deformado y recristalizado de la granodiorita precoz. LP X 32



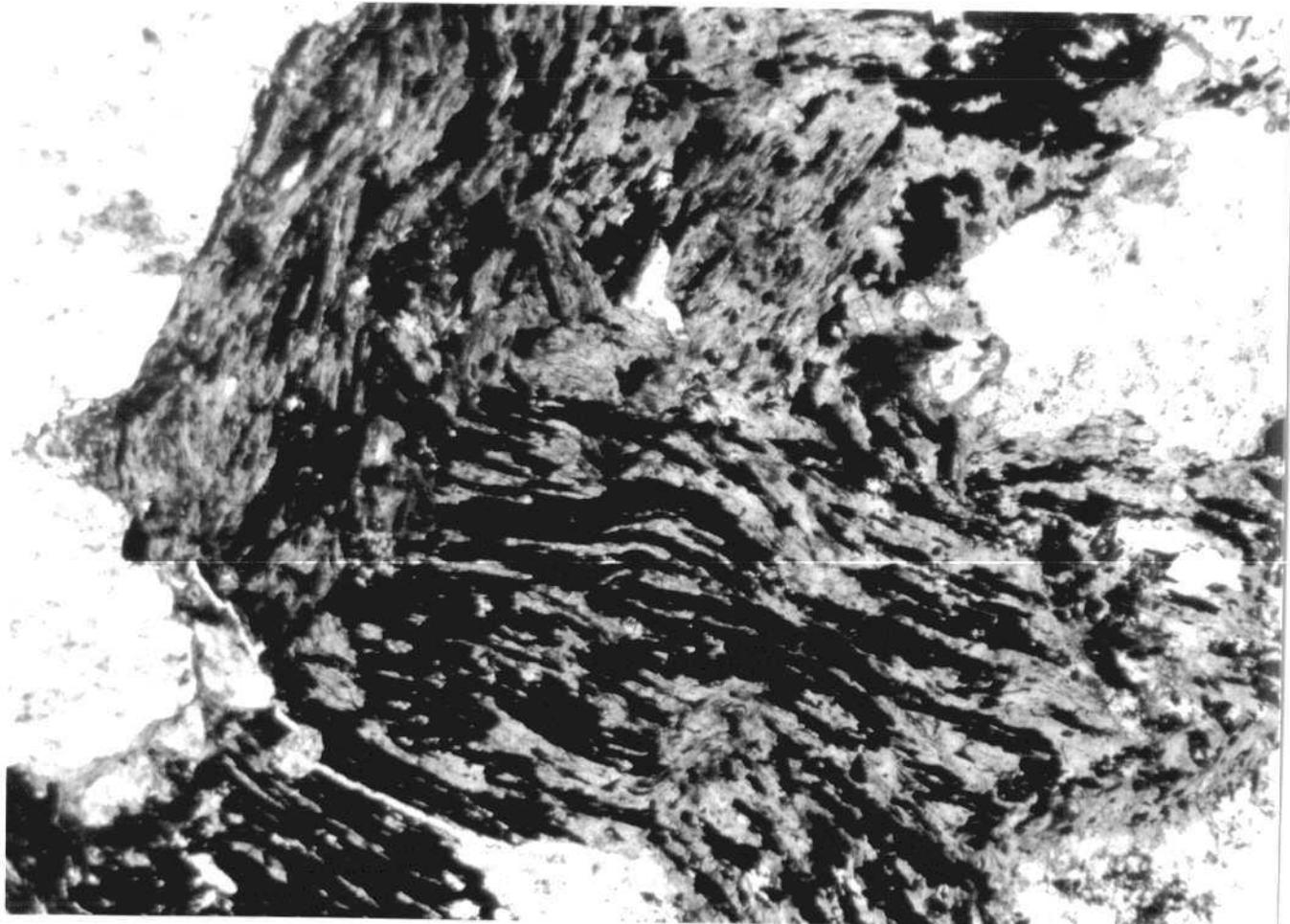
IMINSA



NB 1094.- Aspecto de las anfibolitas ricas en cuarzo. LN X 78



IMINSA



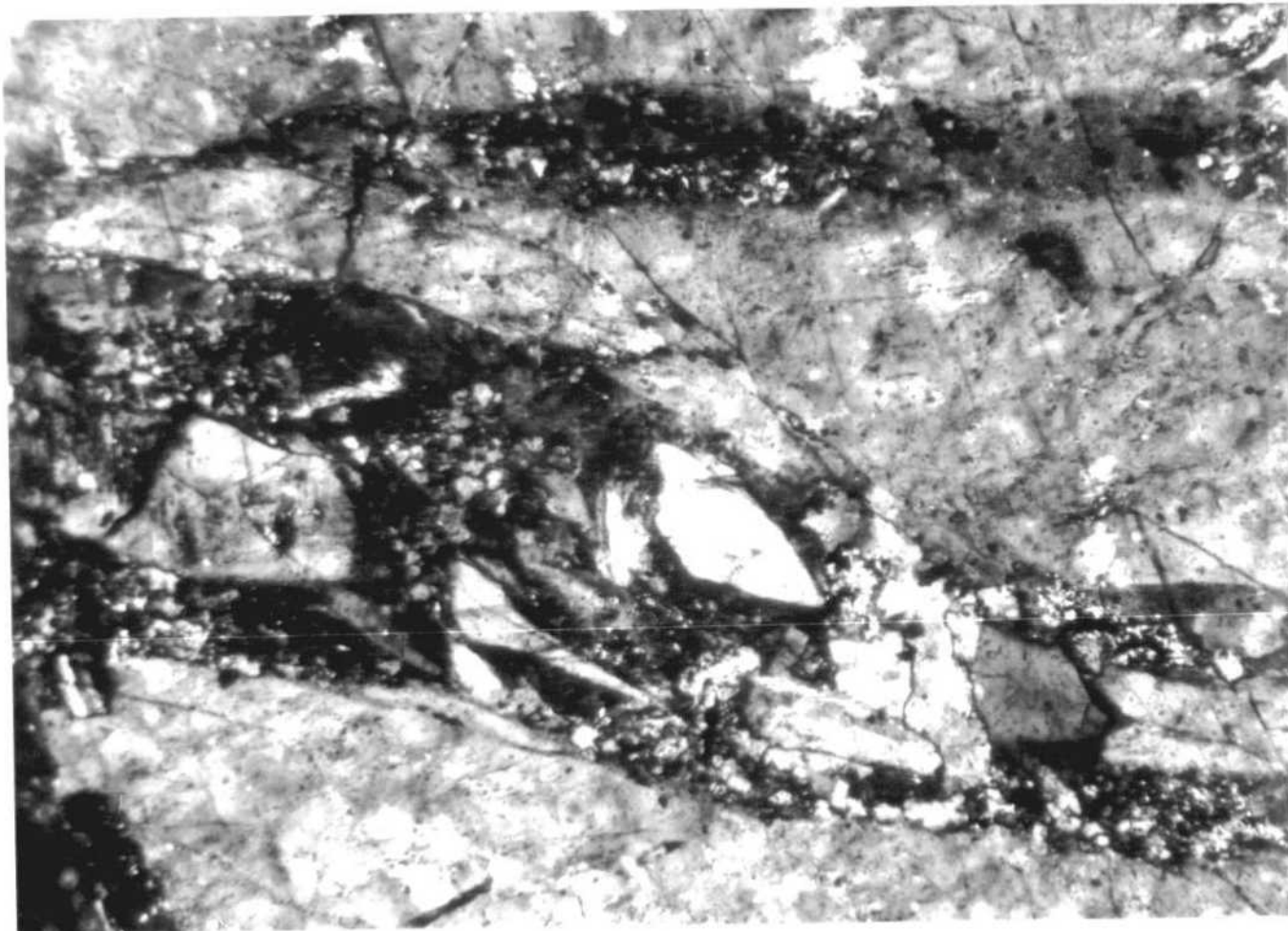
NB 1054.- Clorita que sustituye a biotita en granodiorita precoz. LN X 32



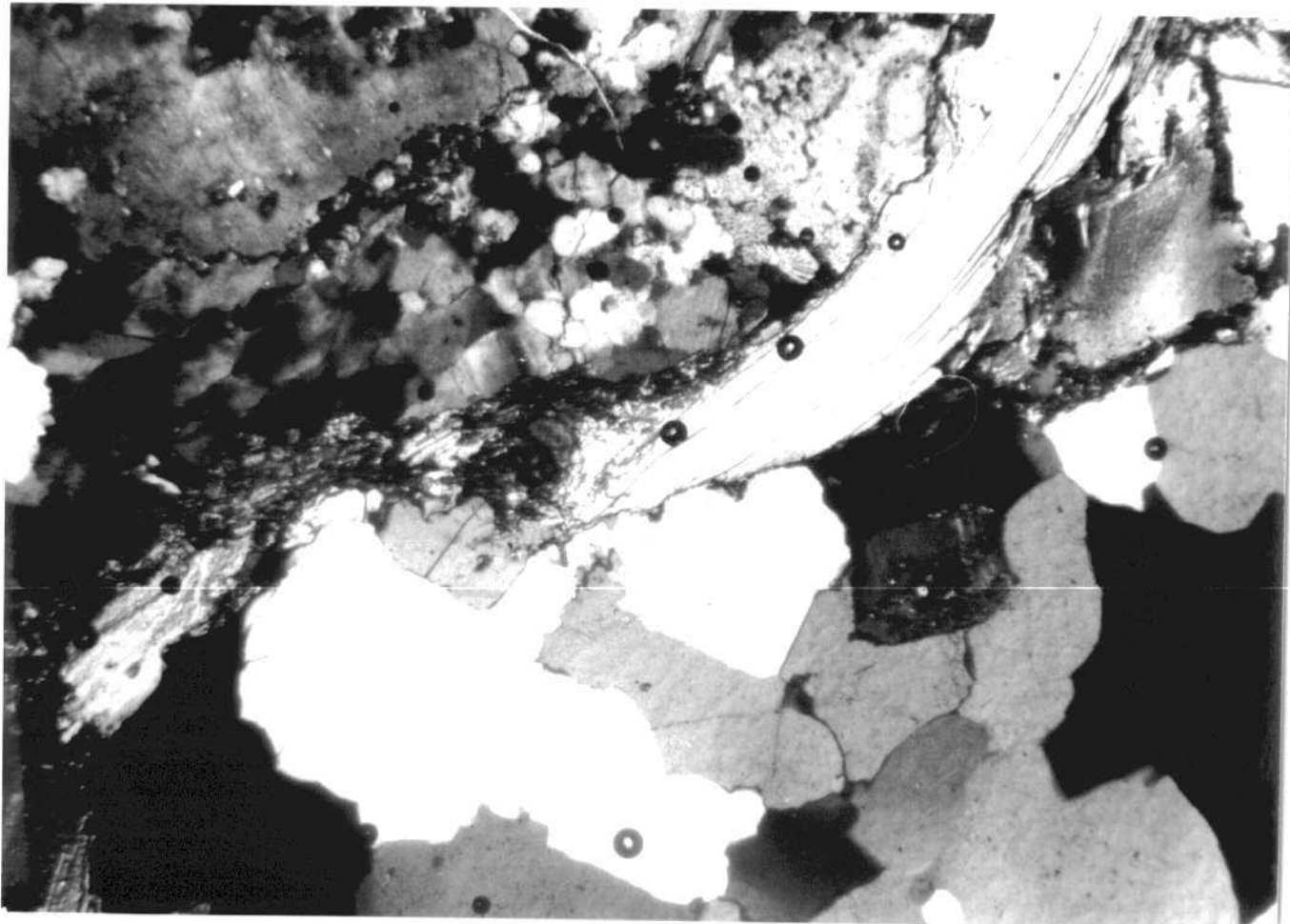
IMINSA



IMINSA



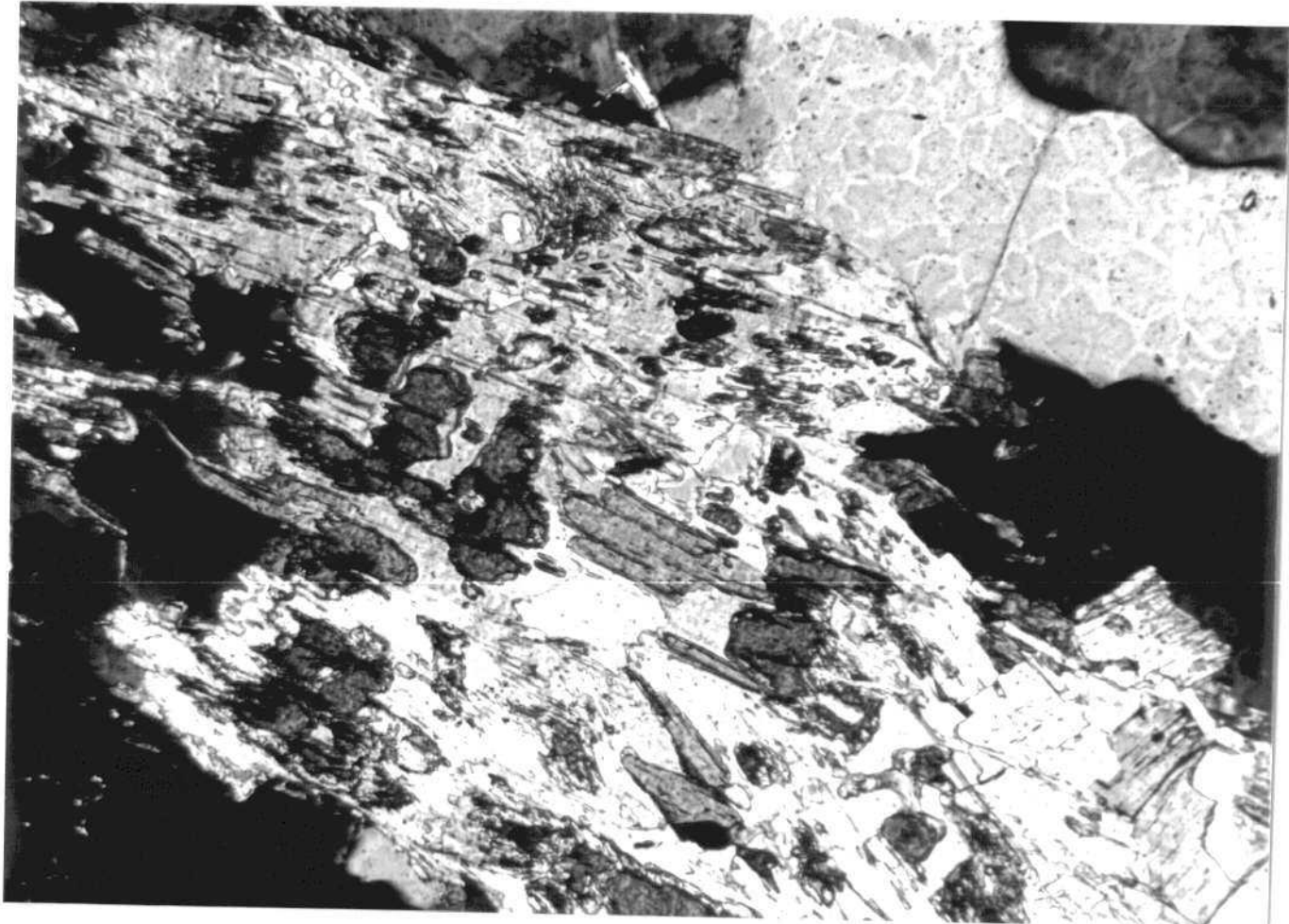
NB 1054.- Aspecto de la tectonización en granodiorita precoz. LP X 32



GA 108.- Moscovita orientada en granodiorita tardia. LP X 32



IMINSA



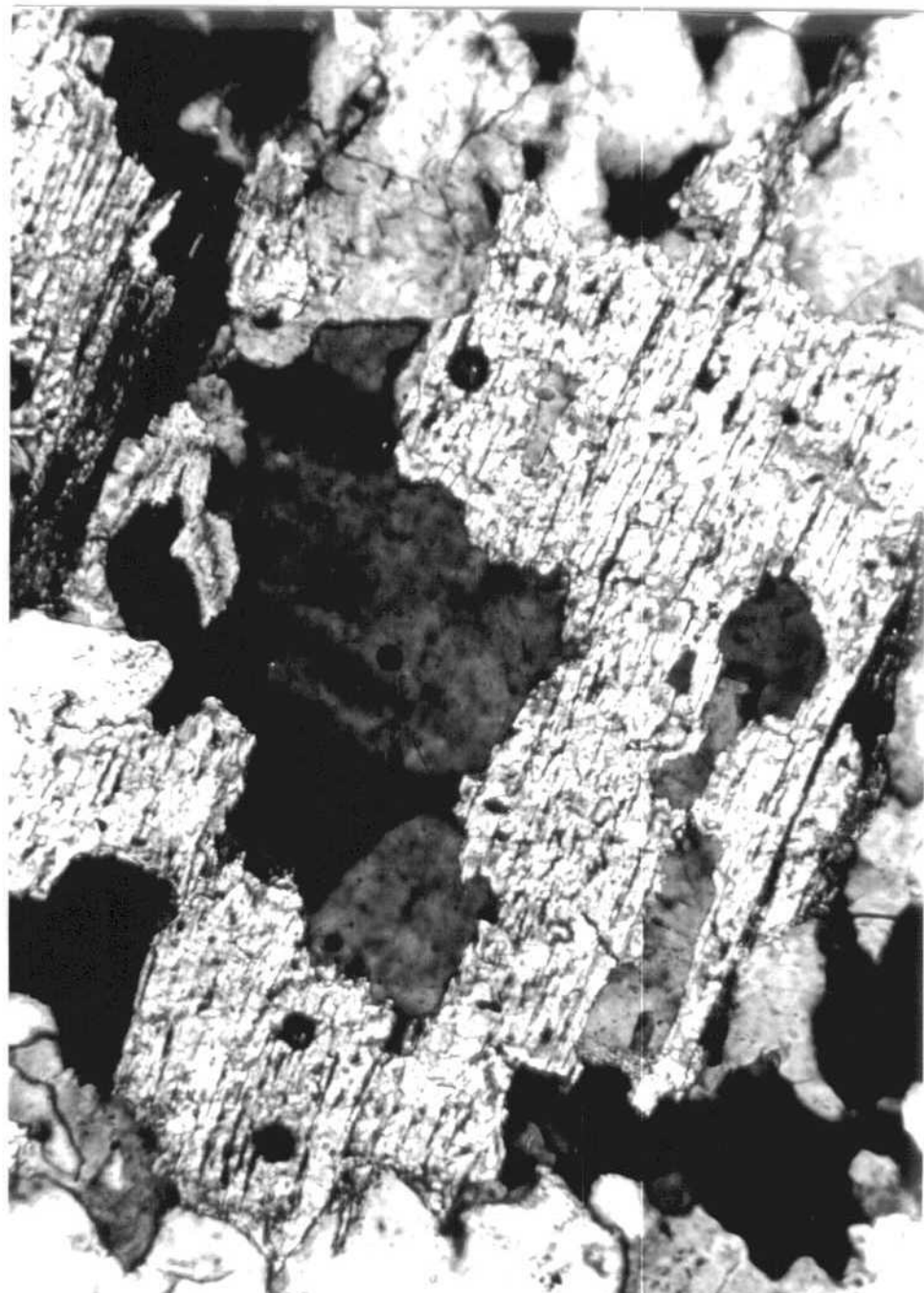
RA 501.- Microclinias ricas en inclusiones de cuarzo. LP X 32



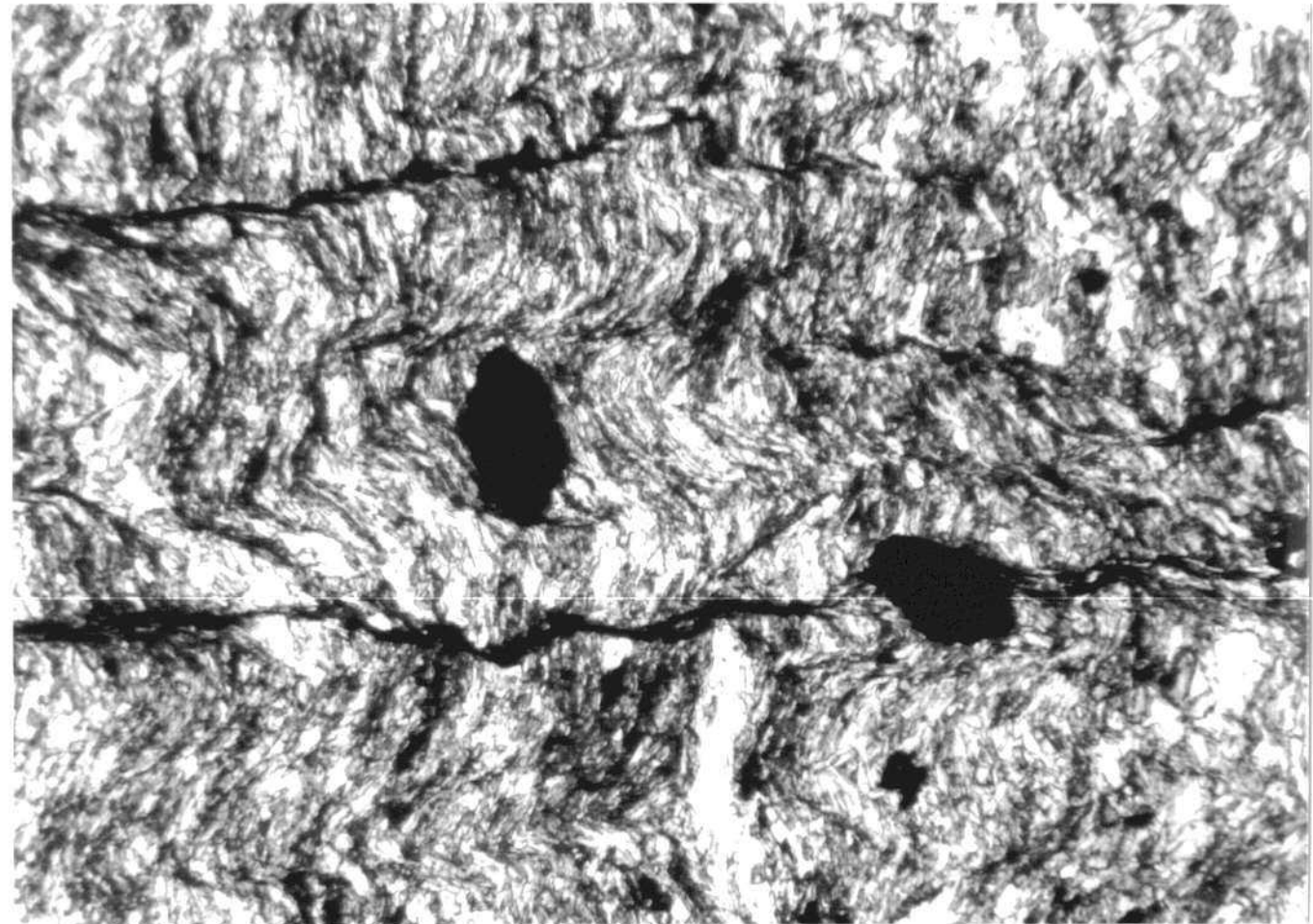
IMINSA



IMINSA



RA 501.- Moscovita poiquiloblástica. LP X 32

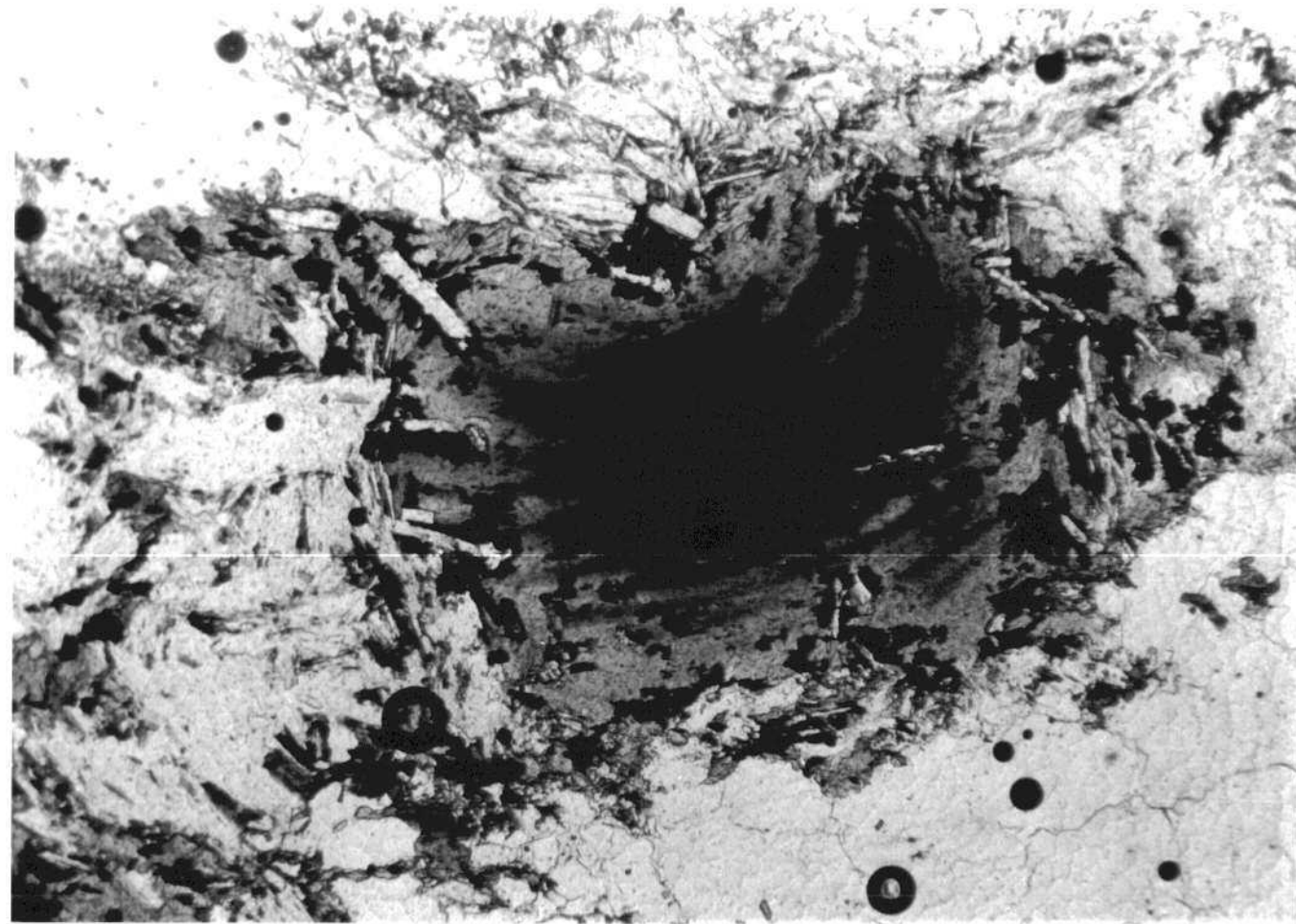


GA 230.- Crenulación en filita con fenómenos de disolución por presión y opacos tardios.

LN X 78



IMINSA

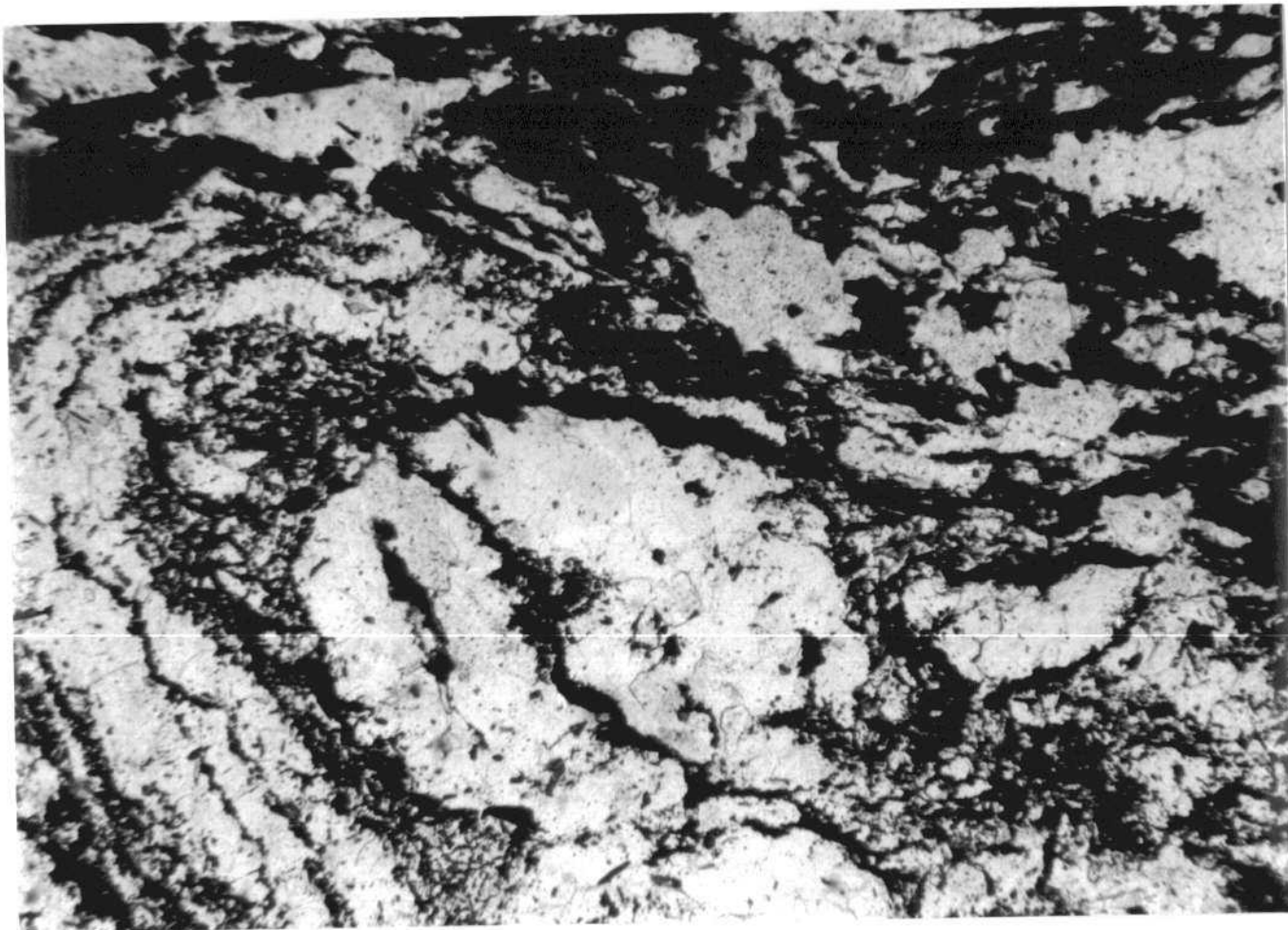


GA 173.- Aspecto de las biotitas deformadas y cloritizadas de la granodiorita precoz.

LN X 32



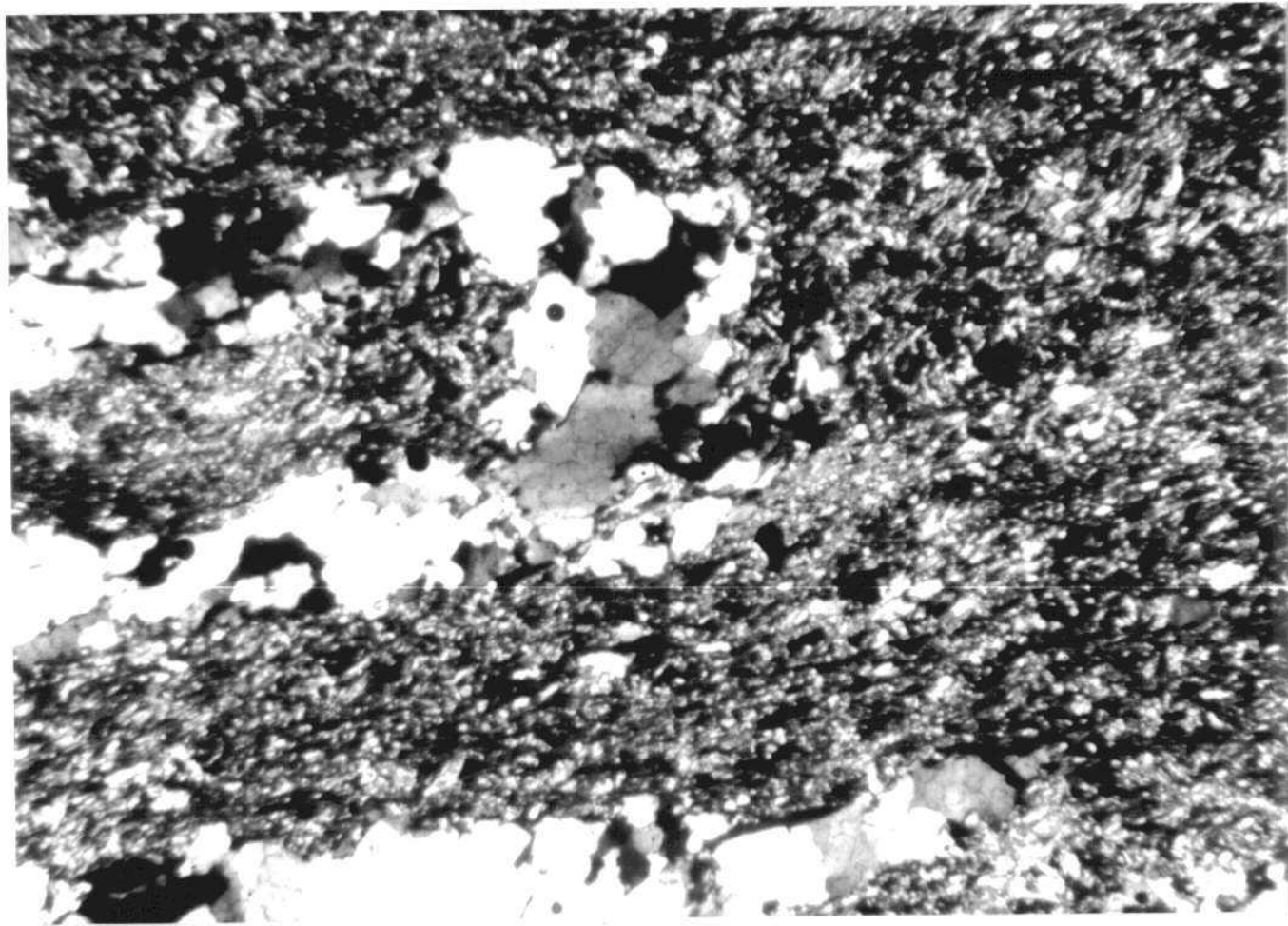
IMINSA



GA 201.- Aspecto de micropliegues en la cuarcita grafitosa. LN X 78



IMINSA

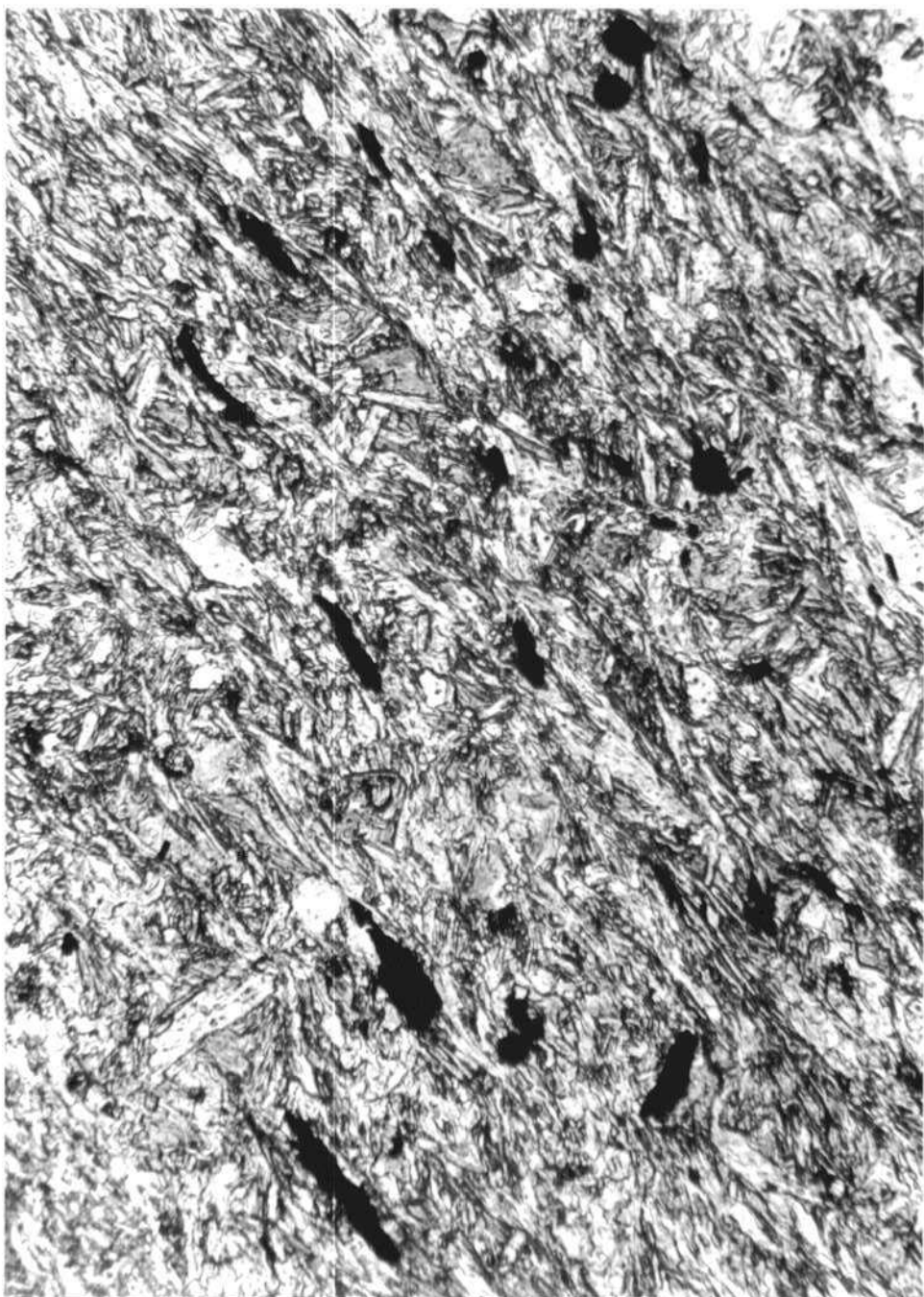


GA 290.- Filoncillos de cuarzo granoblástico plegado en filita. LP X 32



IMINSA

GA 290.- Ligera orientación de opacos de hábito alargado en filitas. LN X 78





IMINSA



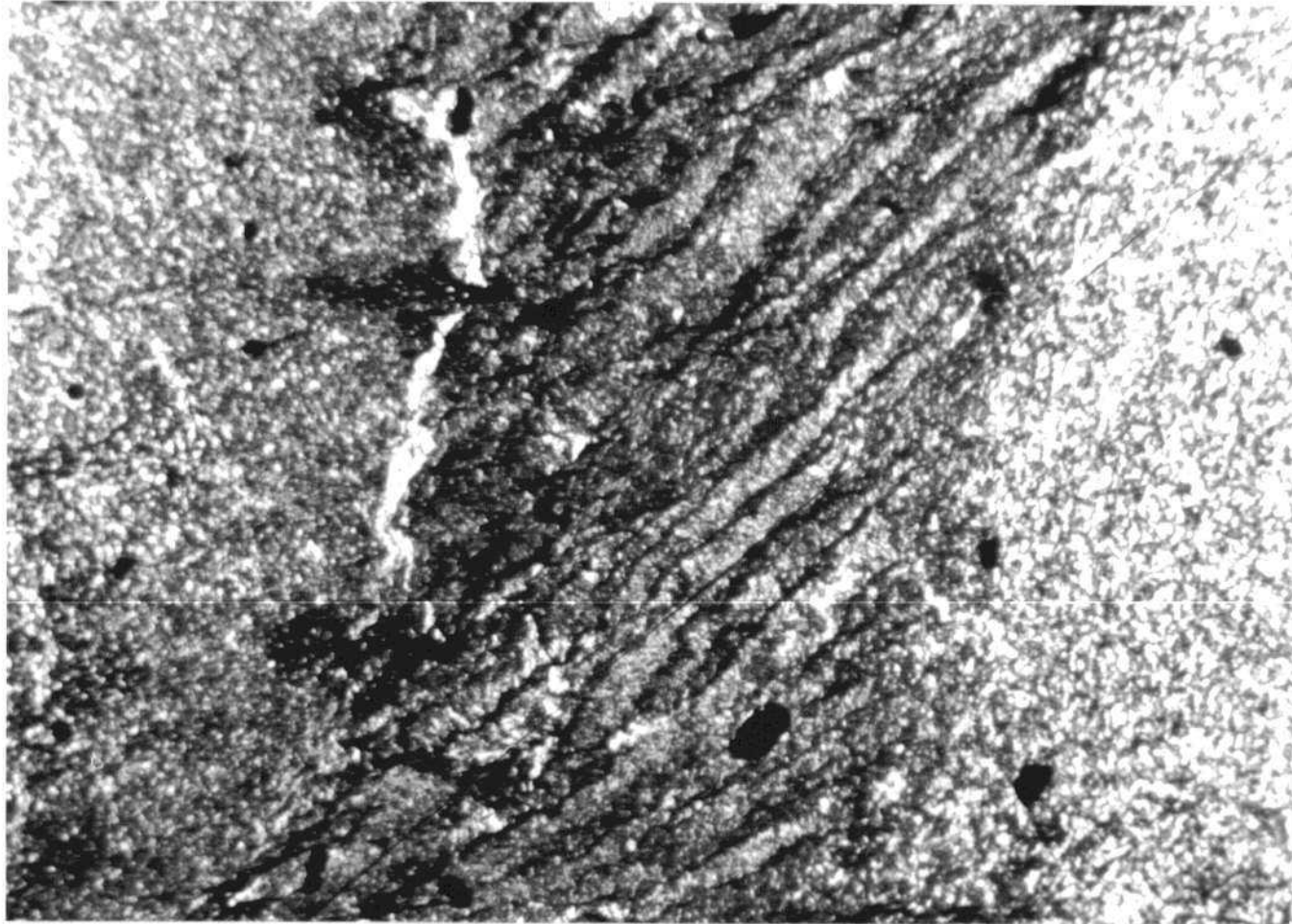
GA 292.- S_2 en filitas bandeadas. LP X 32



IMINSA



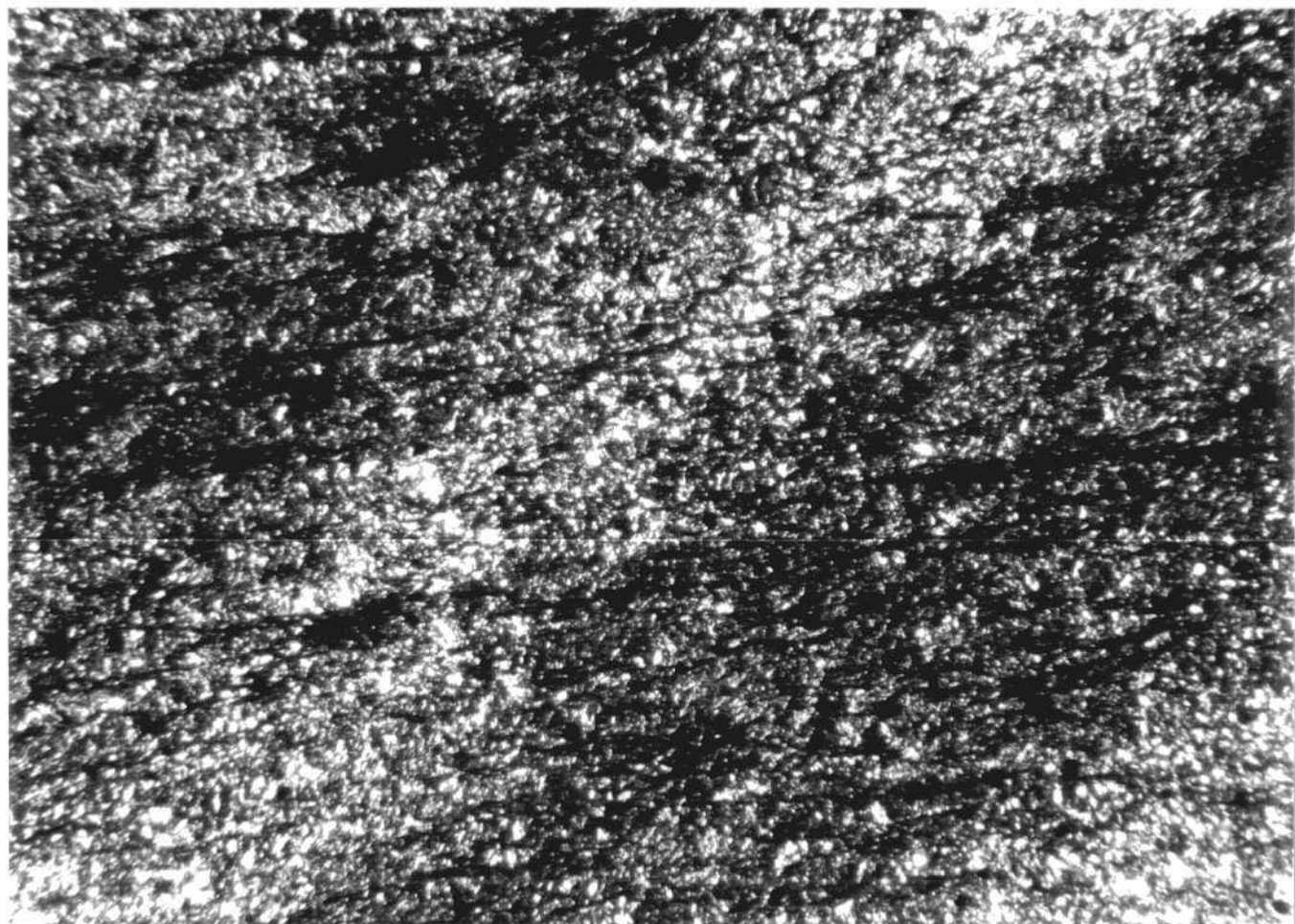
GA 294.- Formación de sombras de presión en torno a un opaco prectónico. LP X 78



GA 296.- Esquistosidad de crenulación (S_2 en filitas) con clorita oblicua al bandeadado cuarcítico. LN X 32



IMNSA



GA 297.- S_2 incipiente en esquisto de Ordenes. LN X 32



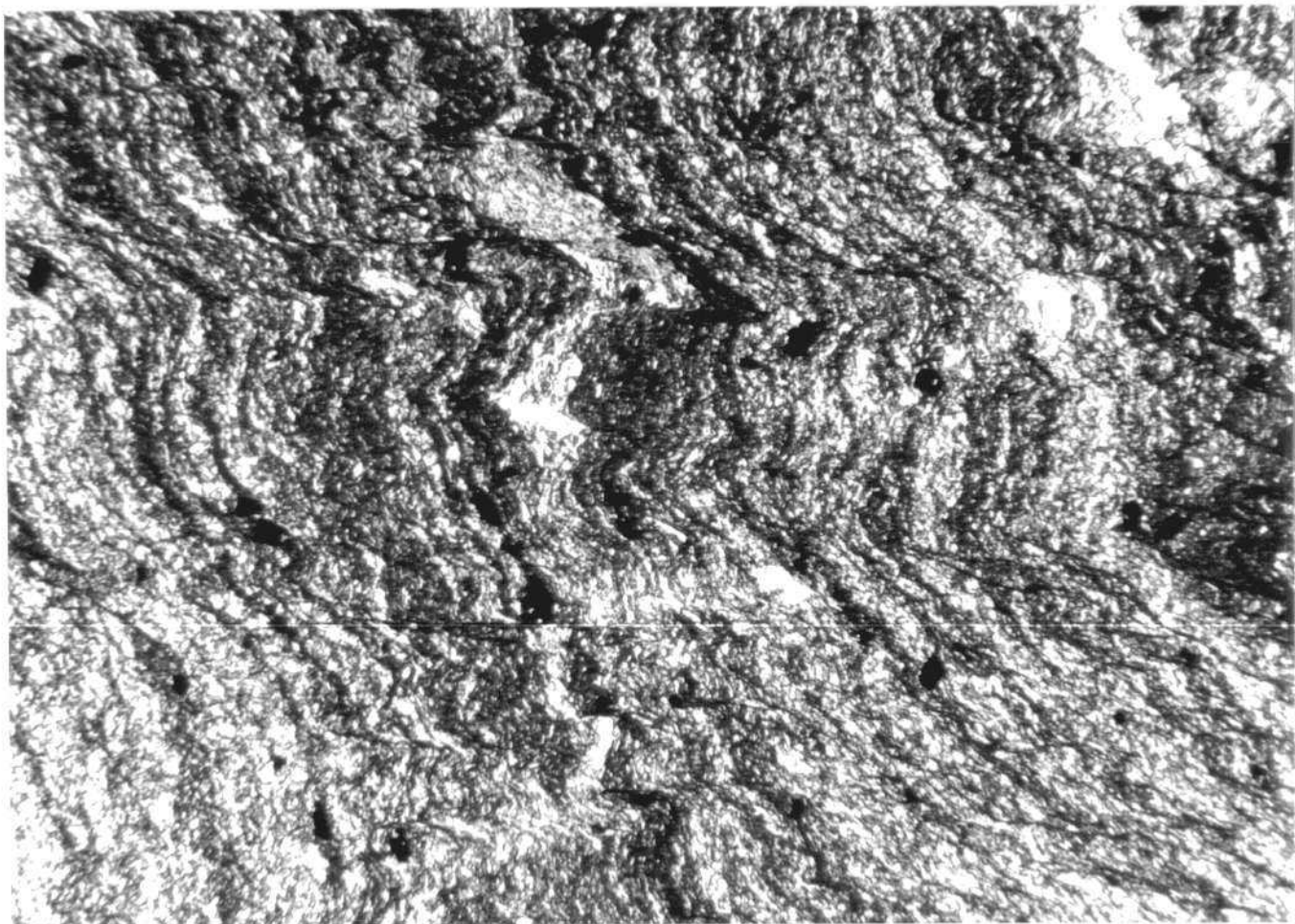
IMINSA



GA 298.- Esquistosidad de fractura afectando o no a los materiales según su competencia. LN X 32



IMINSA



GA 298.- Filita bandeada. LN X 32



IMINSA



GA 299.- S_2 oblicua a S_0 con fenómenos de disolución por presión en los flancos de los micropliegues. LN X 32

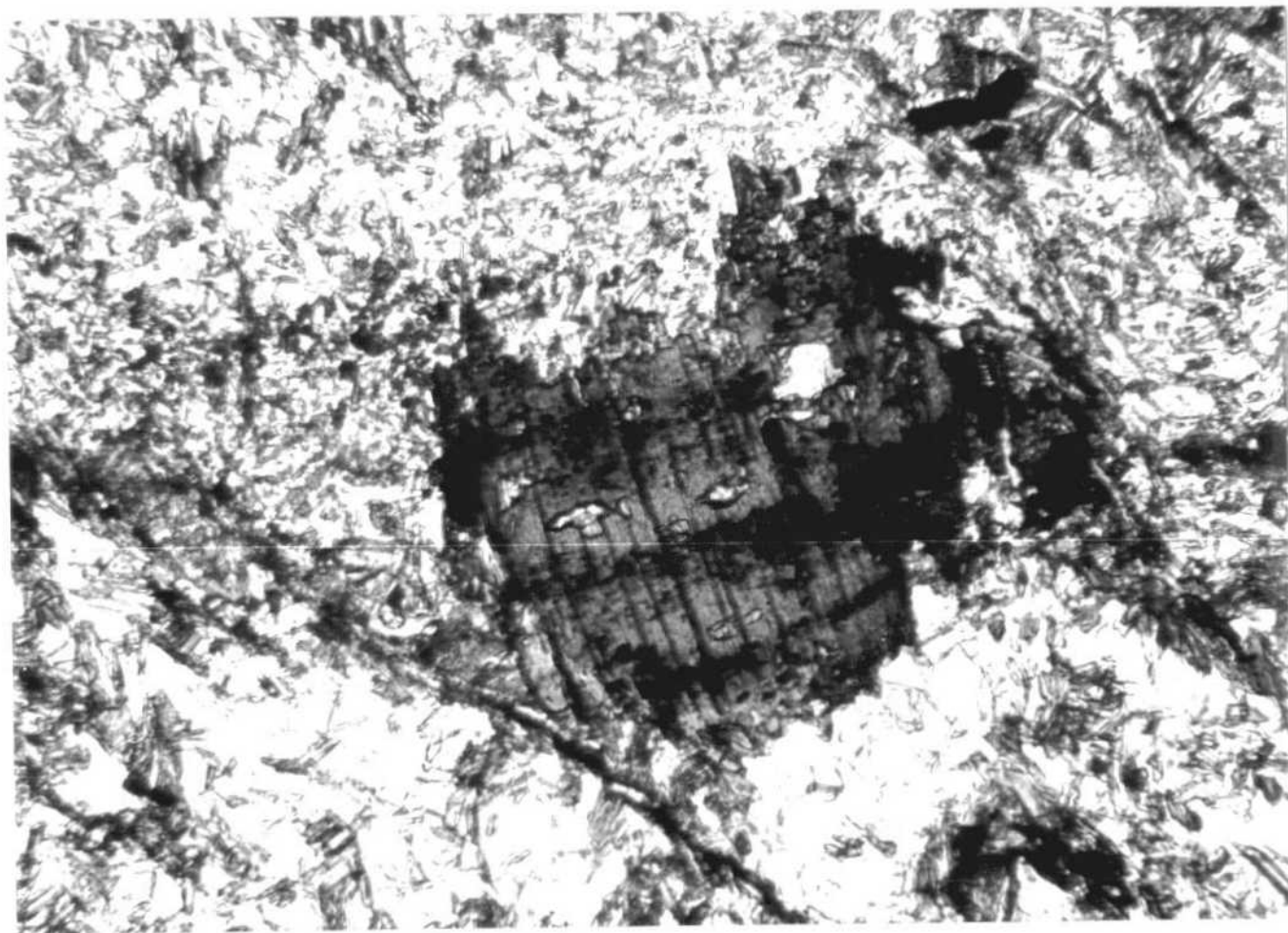




GA 299.- Idem que la anterior. LN X 32



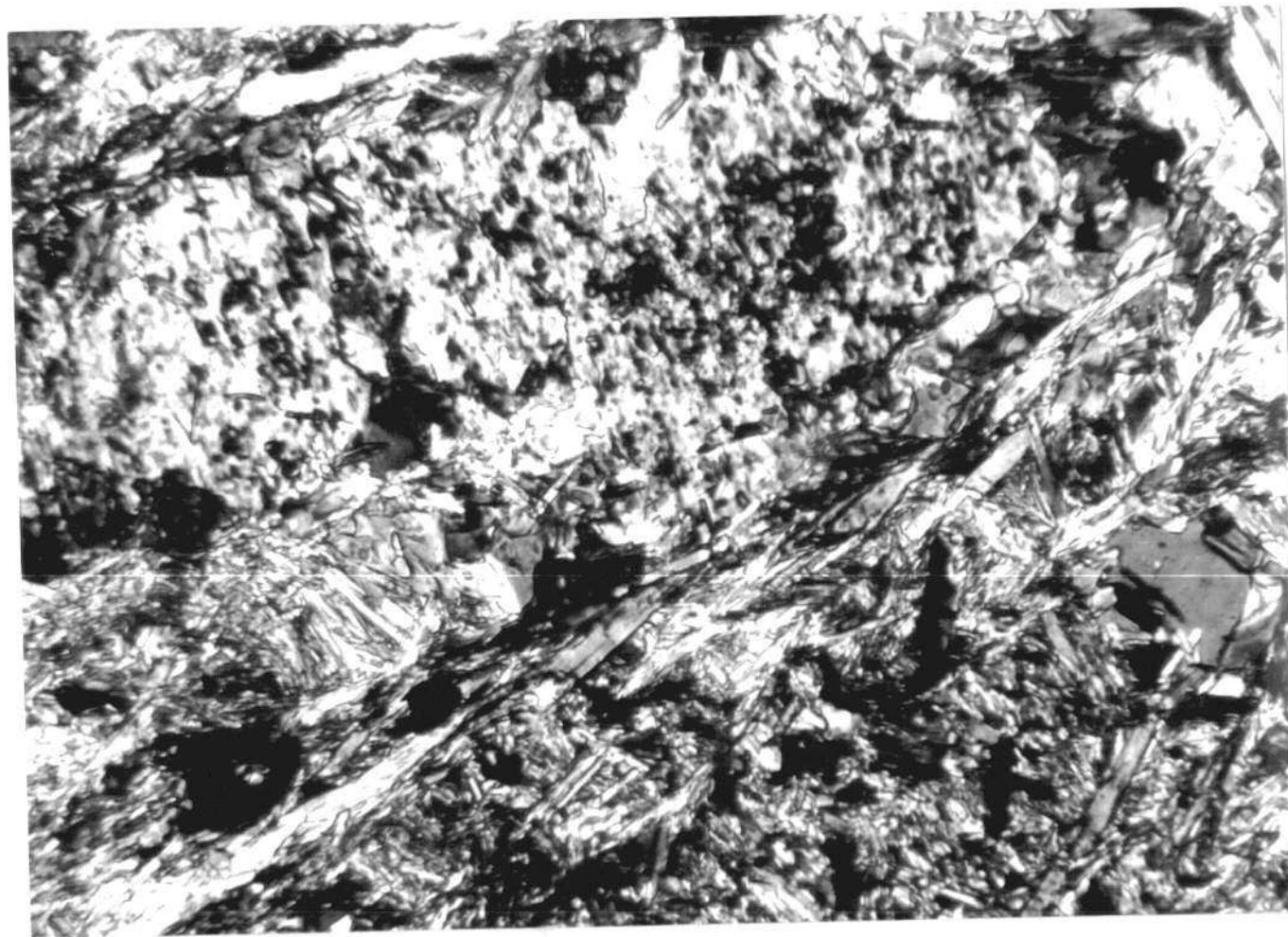
IMINSA



GA 286.- Biotita poiquiloblástica en esquistos de Ordenes de la zona alta de la
biotita. LN X 78



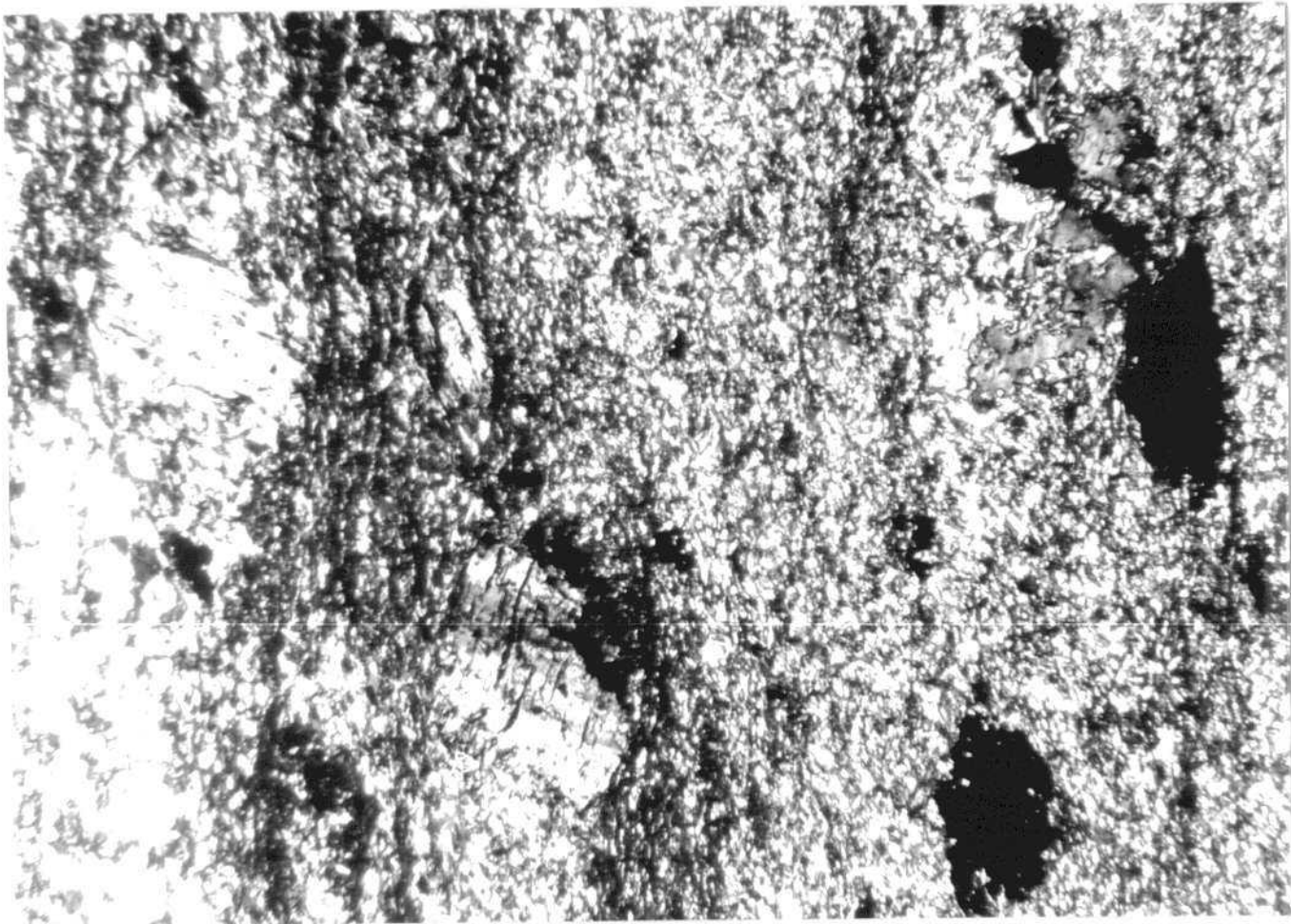
IMINSA



GA 285.- Feldespato albitizado en esquisto feldespatico de Ordenes. LP X 78



IMINSA



GA 286.- Biotitas porfiroblásticas algo deformadas en esquistos de Ordenes. LN X 32

